

РАСПРОСТРАНЕНИЕ ВОЛН, ВОЗБУЖДАЕМЫХ МОДУЛИРОВАННЫМ ИОННЫМ ПОТОКОМ В ПЛАЗМЕ

Е.Б. Куприянова, С.В. Митько, И.А. Сычев

Приводятся результаты экспериментального исследования волн, возбуждаемых модулированным ионным потоком в неоднородной плазме. Рассматривается их поведение при различном соотношении нелинейных и дисперсионных свойств системы плазма – ионный поток.

Плазма создавалась импульсным плазменно-пучковым разрядом в аргоне при давлении $p_0 \sim 10^{-3}$ торр и удерживалась продольным магнитным полем с напряженностью $H \sim 100$ Э/1. Исследования проводились на стадии распада плазмы через $10 \div 20$ мкс после окончания импульса ионизации. Концентрация и температура электронов плазмы, измеренные с помощью одиночного ленгмюровского зонда, составляли $n_e \sim 10^{11} \div 10^9$ см⁻³ и $T_e \sim 5$ эВ. Ионная температура (по оценкам) $\sim 0,1$ эВ.

Формирование ионного потока и возбуждение волн осуществлялось с помощью устройства, состоящего из двух цилиндрических электродов 1 и 2, помещенных в плазму (рис. 1). Заземленная сетка 3 с размером ячейки $l \sim 0,15$ мм создает потенциальный барьер для электронов, осуществляя электрический разрыв плазмы. При этом имеются две независимые по потенциалу области I и II. В области I плазма принимает потенциал электрода 2 – V_I , задаваемый приложенным к нему напряжением U_{CM} , а в области II устанавливается потенциал плазмы V_{II} (рис. 1б). Ускоряющая ионы разность потенциалов $\Delta V = V_I - V_{II}$ приводит к появлению ионного потока, наблюдаемого в области II с помощью подвижного одиночного ленгмюровского зонда 5. В отсутствие ускоряющей разности потенциалов ток ионов на зонд пропорционален плотности плазмы в области II; при подаче U_{CM} наблюдается возрастание ионного тока насыщения, что свидетельствует о появлении ионного потока в области II. Величина потока пропорциональна ΔV и практически не зависит от расстояния до сетки вдоль оси z. Отношение концентрации ионов пучка к плотности плазмы достигает 7% при $\Delta V = 50$ В.

Возбуждение колебаний в системе плазма – ионный поток осуществлялось при подаче на внутренний электрод 2 переменного модулирующего напряжения V_\sim (рис. 1). Величины ΔV и V_\sim варьировались в пределах $\Delta V = 20 \div 100$ В, $V_\sim = 1 \div 15$ В при частоте модуляции $f_0 = 4$ МГц. Исследование колебаний проводилось с помощью одиночного подвижного ленгмюровского зонда 5, а также методом рассеяния лазерного излучения /2/. Было обнаружено существование двух различных режимов распространения колебаний, зависящих от плотности плазмы.

С помощью зондовых фазовых измерений и измерений методом рассеяния излучения CO₂ лазера при $n_e \sim 10^{11}$ см⁻³ установлено, что исследуемые колебания представляют собой плоскую волну, распространяющуюся вдоль оси z на расстояние нескольких сантиметров от сетки 3 (рис. 1). Фазовая скорость волны v_ϕ практически совпадала со скоростью ионного потока $v_0 = \sqrt{2e\Delta V/M_i}$ (M_i – масса иона) в широком диапазоне ΔV . Длина волны задавалась частотой возбуждения f_0 и величинами ΔV и V_\sim . В диапазоне изменения этих величин она менялась от 0,5 до 5 мм при $f_0 = 4$ МГц, $\Delta V = 50$ В, $V_\sim = 10$ В, $\lambda = 4$ мм.

На рис. 2 представлены типичные зависимости амплитуды колебаний ионного тока насыщения на зонд от расстояния по оси z. Характерной чертой этой зависимости является наличие максимума, положение которого зависит от величины ускоряющей разности потенциалов ΔV , величины V_\sim и частоты модулирующего напряжения. Кроме колебаний на основной частоте $f_0 = 4$ МГц в сигнале рассеянного излучения и в ионном токе на зонд были обнаружены колебания на частотах гармоник (вплоть до шестой). Наличие гармонических составляющих основного сигнала и зависимость положения максимума амплитуды колебаний от ΔV , V_\sim и f указывает на нелинейность исследуемой волны.

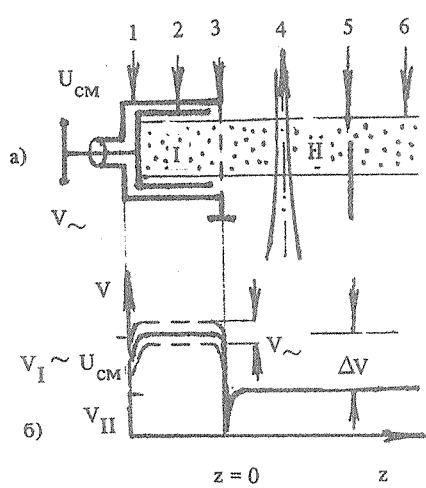


Рис. 1.

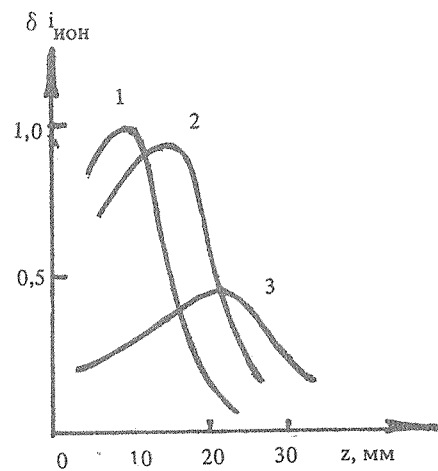


Рис. 2.

Рис. 1. а) Устройства для возбуждения колебаний: 1, 2 – цилиндрические электроды; 3 – заземленная сетка электрода 1; 4 – зондирующий пучок CO₂ лазера; 5 – подвижный ленгмюровский зонд; 6 – плазменный столб. б) Распределение потенциалов вдоль оси плазменного столба: U_{см} – напряжение смещения и V~ – переменное напряжение, подаваемые на электрод 2; V_I и V_{II} – потенциалы плазмы в областях I и II.

Рис. 2. Зависимость амплитуды колебаний ионного тока насыщения на зонд от расстояния по оси z при n_e ~ 10¹¹ см⁻³, T_e ~ 2 эВ: 1 – ΔV = 40 В; V~ = 10 В; 2 – ΔV = 40 В, V~ = 5 В; 3 – ΔV = 60 В, V~ = 10 В.

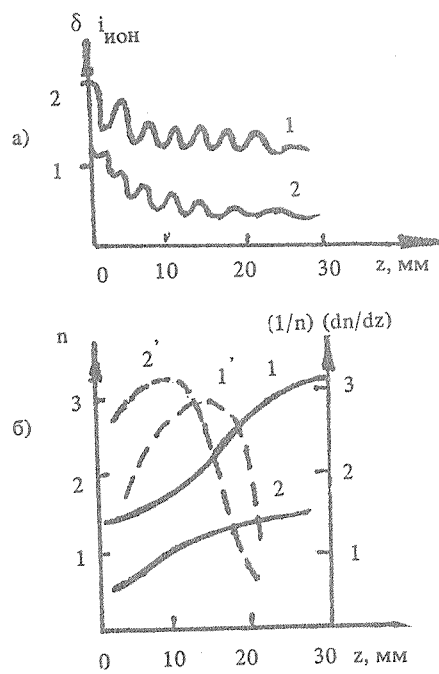


Рис. 3. Амплитуда колебаний ионного тока на зонд вдоль оси при n_e ~ 10⁹ см⁻³, T_e ~ 5 эВ, ΔV = 80 В, V~ = 10 В. б) Продольный профиль плотности плазмы (сплошные кривые) и его производной (пунктирные кривые). Кривые 1 – через 10 мкс после окончания импульса ионизации, 2 – через 20 мкс.

Полученные результаты находятся в удовлетворительном согласии с кинематической теорией фазовой фокусировки частиц, первоначально промодулированных по скоростям /3/. Согласно /3/, амплитуда колебаний достигает максимального значения (положение фазового фокуса) на расстоянии

$$z_{\max} = 2(v_0/\omega) \Delta V/V_{\sim}, \quad (1)$$

где $\omega = 2\pi f$. Сравнение экспериментально полученных z_{\max} с рассчитанными по формуле (1) дало хорошее совпадение вплоть до больших значений ΔV . При $\Delta V > 80$ В экспериментально полученный максимум наблюдался раньше расчетного, что говорит об отклонении от простой кинематической теории не-взаимодействующих частиц. Аналогичное поведение ионов наблюдалось в /4/, при изучении распространения высокозенергетического ионного пучка, промодулированного по скоростям в радиальном направлении.

При понижении плотности плазмы поведение волны, возбужденной в системе плазма – ионный поток, существенно меняется. На рис. 3 представлены зависимости амплитуды первой гармоники от расстояния по оси z и профиль плотности плазмы через 10 и 20 мкс после окончания импульса ионизации для $n_e = 10^9 \text{ см}^{-3}$. При этом наблюдалась пространственная модуляция амплитуды волны на расстоянии, согласующаяся с характерным размером неоднородности продольного профиля плазмы. Период пространственной модуляции оказался равным расчетной длине волны, в то же время с помощью зондовых фазовых измерений определить длину волны не удалось. Эти факты можно объяснить, если предположить, что пространственная модуляция амплитуды возникает в результате отражения волны от зоны неоднородности с последующей интерференцией падающей и отраженной волн.

Параметром, определяющим соотношение между нелинейными и дисперсионными свойствами системы плазма – ионный поток, является отношение $\xi = \tilde{v}/\Delta v_{\phi}$ /5/, где \tilde{v} – амплитуда переменной составляющей скорости потока, $\Delta v_{\phi} = ac_s r_D^2 k^2/2$ – расстройка фазовой скорости волны за счет дисперсии, $c_s = \sqrt{T_e/M_i}$ – скорость звука, $r_D = \sqrt{T_e/4\pi e^2 n_e}$ – радиус Дебая, $a = \sqrt{n_b/n_e}$.

При $\xi \ll 1$ поведение системы плазма – ионный поток полностью описывается ее дисперсионными свойствами, а при $\xi \gg 1$ – нелинейными. При $n_e \sim 10^9 \text{ см}^{-3}$ параметр $\xi \sim 1$, при $n_e \sim 10^{11} \text{ см}^{-3}$ $\xi \sim 10$.

Таким образом, в области больших плотностей дисперсия среды слаба и основную роль играют ее нелинейные свойства. В случае малых плотностей плазмы характер распространения волны в большей степени определяется дисперсионными свойствами системы.

ЛИТЕРАТУРА

1. Кафидов Д. М., Лукина М. А., Сергеевич К. Ф. Физика плазмы, 7, вып. 1, 136 (1981).
2. Буланин В. В. и др. Краткие сообщения по физике ФИАН, № 7, 18 (1983).
3. Гапонов В. И. Электроника, М., Физматгиз, 1960, ч. 2, с. 295.
4. Кацубо Л. П., Коваленко В. П., Соловченко И. А. ЖЭТФ, 67, вып. 1(7), 110 (1974).
5. Кадомцев Б. Б. Коллективные явления в плазме. М., Наука, 1976, с. 107, 111.

Поступила в редакцию 28 января 1986 г.